

натора, длины модулятора от изменения радиуса кристалла для  $d = 2,5$  см,  $a = 0,05$  см,  $r_a = 4,8$  см,  $r_d = 0,6$  см,  $r_p = 5,0$  см.

Как видно, увеличение радиуса кристалла ведет только к ухудшению основных параметров модулятора, за исключением потерь мощности в кристалле, которые в диапазоне изменения  $r_{kp}$  остаются практически постоянными. По-видимому,  $P_{kp} \approx \text{const}$  связано с увеличением плотности потерь на стенках резонатора и пропорциональным уменьшением объема III-й частичной области (при увеличении  $r_{kp}$  в три раза запасенная энергия в модуляторе уменьшилась примерно в шесть раз). Выбор радиуса кристалла (попереч-

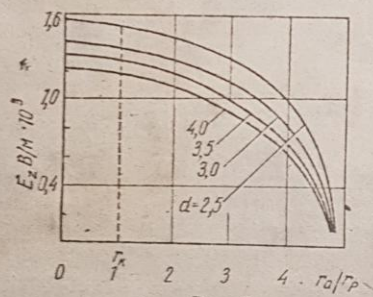


Рис. 2

ляемыми к системам (возможность одновременного пропускания прямого и отраженного лучей) или диаметром луча оптического излучения

Распределение  $E_z$ -составляющей поля вдоль радиуса в частичной области 1 для различных значений длины кристалла показано на рис. 2. На оси абсцисс отмечены точки, определяющие радиусы кристалла, диска и внешнего проводника. Из рис. 2 можно заключить, что электрическое поле практически равномерно распределено по всей площади поперечного сечения кристалла.

Результаты исследований могут быть использованы при разработке системы с модуляторами на кристаллах DKDP.

Список литературы: 1. Кухтин М. П., Канарак Г. Г. Модулятор на  $\text{LiNbO}_3$ .—Радиотехника, 1984, вып. 69, с. 97—103. 2. Мустель Е. П., Парыгин В. Н. Методы модуляции и сканирования света.—М.: Наука, 1970.—296 с.

Поступила в редакцию 02.04.84

УДК 621.385

А. Б. ГАЛАТ

## РАСЧЕТ ПЛОТНОСТИ ТОКА В НЕОСЕСИММЕТРИЧНЫХ СИСТЕМАХ ФОРМИРОВАНИЯ С УЧЕТОМ ХРОМАТИЧЕСКОЙ АБЕРРАЦИИ

Одна из важнейших характеристик пучка заряженных частиц — распределение плотности тока в его поперечном сечении. Использование электронных и ионных пучков в единичной технолог

Таблица 2

<i>n</i>	<i>r<sub>KP</sub></i> см	<i>U</i>	<i>B</i>	<i>P<sub>KP</sub></i> Вт	<i>Q<sup>M</sup><sub>нен</sub></i>	<i>Q<sup>P</sup><sub>нен</sub></i>	<i>t</i> см
1	0,4	108,3		0,975	106	4350	8,81
2	0,564	77,0		0,987	55	4250	8,25
3	0,846	51,49		0,992	28	3970	6,98
4	1,12	38,67		0,995	17	3770	6,03

гии изготовления интегральных микросхем для обработки и дозированного нагрева металлов значительно повышает требования к упомянутой характеристике. Большое внимание привлекают пучки с неосесимметричной формой поперечного сечения, обладающие более широкими возможностями по сравнению с осесимметричными. Это говорит об актуальности разработки методов расчета плотности тока в неосесимметричных пучках заряженных частиц. Известны методы расчета распределения плотности тока тонких пучков в параксимальном приближении [1, 2]. Их применение требует аналитического задания траекторий движения частиц, что не всегда возможно. Для преодоления ограничений, связанных с использованием классических методов, применяют метод траекторного анализа [3].

В случае учета хроматической aberrации и моделирования эмиссии используют обычно методику случайных чисел, корректная реализация которой требует больших затрат времени и не всегда удобна [3].

Нами получены рабочие выражения для расчета плотности тока неосесимметричного пучка. Учет хроматической аберрации выполнен на основе дискретного представления функций распределения частиц по энергиям и углам вылета. Это позволяет значительно уменьшить объем вычислений.

Для неосесимметричных систем формирования (СФ) по аналогии с результатами В. В. Цыганенко [2] (осесимметричные СФ), можно записать

$$J_9(x, y, z) = \iint_{S_k} J_k(x_k, y_k) \delta(x - X) \delta(y - Y) dx_k dy_k, \quad (1)$$

где  $J_s(x, y, z)$  — плотность тока пучка в точке  $(x, y, z)$ ;  $S_k$  — рабочая поверхность катода;  $J_k(x_k, y_k)$  — плотность тока эмиссии на катоде в точке  $(x_k, y_k)$ ;  $X, Y$  — компоненты траектории частицы;  $\delta(\dots)$  —  $\delta$ -функция Дирака.

Используя свойства  $\delta$ -функции, запишем равенство (1) в виде

$$J_9(x, y, z) = \sum_{k=1}^L J_k(x_k^i, y_k^i) \left[ \frac{\partial X(x_k^i, y_k^i, z)}{\partial x_k} \frac{\partial Y(x_k^i, y_k^i, z)}{\partial y_k} \right]^{-1}, \quad (2)$$

где  $x_k^l$ ,  $y_k^l$  — координаты начальной точки  $l$ -й траектории, проходящей в плоскости  $z$  через точку  $(x, y)$ ;  $L$  — число траекторий, проходящих через точку  $(x, y)$ .

Соотношение (2) может непосредственно применяться для расчетов. Аналитические выражения для компонентов траектории  $X(x_k, y_k, z)$  и  $Y(x_k, y_k, z)$  могут быть получены для ограниченного числа случаев, например для параксиальных траекторий. В случае численного расчета зависимостей  $X(x_k, y_k, z)$ ,  $Y(x_k, y_k, z)$  и их производных, погрешность расчета последних зависит от шага  $\Delta x_k$ ,  $\Delta y_k$ , с которым изменяются координаты  $x_k$ ,  $y_k$  точек выхода соседних траекторий. С уменьшением шага повышается

точность аппроксимации производных, но увеличивается время счета. Размер шага ограничен снизу погрешностью расчета траекторий на экране. В силу этого расчет траекторий выполняется для точек экрана с шагом  $\Delta x_{\max}$ ,  $\Delta y_{\max}$ , достаточным для адекватного описания функции  $J_s$ , но для каждой точки считается дополнительная траектория, отстоящая от основной на расстояния  $\Delta x_{\min}$ ,  $\Delta y_{\min}$ , выбираемые исходя из погрешности расчета траекторий на экране.

Тогда плотность тока

$$J_s(x, y, z) = \sum_{i=1}^L J_k(x_k^i, y_k^i) / \left( \frac{\Delta x_{k \min}^i}{\Delta x_{k \max}^i} \frac{\Delta y_{k \min}^i}{\Delta y_{k \max}^i} \right), \quad (3)$$

где  $\Delta x_{k \min}^i$ ,  $\Delta y_{k \min}^i$  — разность координат точек выхода основной и дополнительной траекторий на катоде.

Преимущество описанной методики перед традиционной (метод трубок тока) в том, что она дает возможность значительно уменьшить время счета либо при тех же затратах увеличить точность.

Хроматическая аберрация существенно искажает распределение плотности тока в пучке, поэтому расчет структуры последнего без ее учета является приближенным. Основная причина хроматической аберрации — разброс начальных скоростей электронов. Аналитические методы оценки хроматической аберрации имеют ограниченные возможности [1], численные — требуют больших затрат времени [3]. Предлагаемый ниже метод позволяет упростить оценку хроматической аберрации, сохраняя универсальность численных методов.

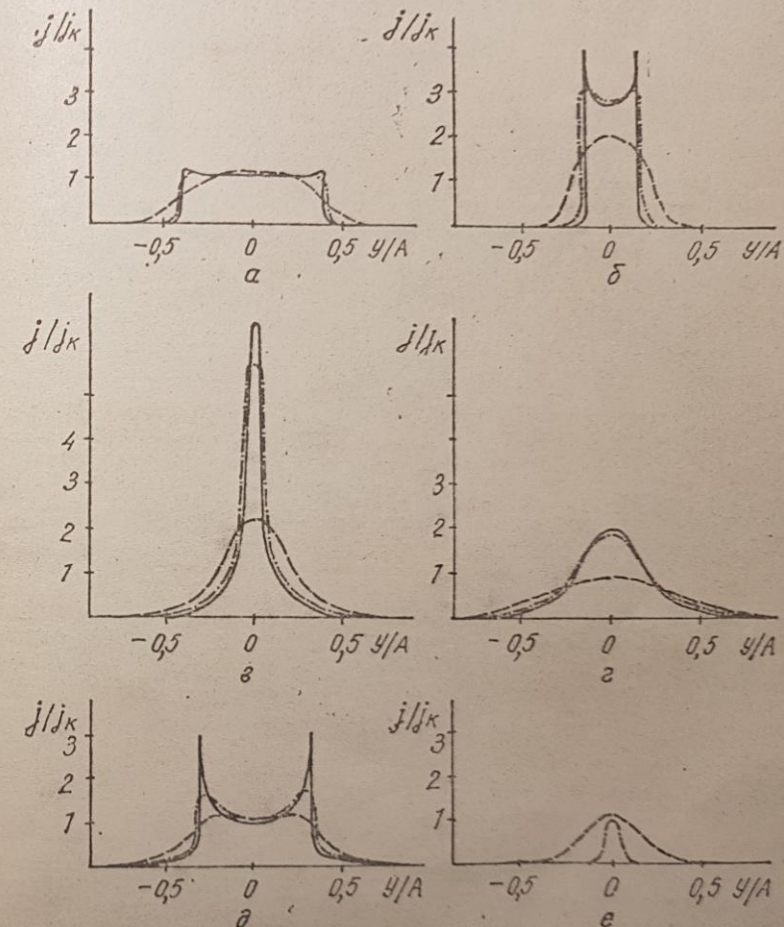
При траекторном анализе системы необходимо для каждой траектории задавать конкретные начальные условия. Физически корректно задать их — значит организовать случайный выбор энергий в диапазоне  $0 \dots \infty$  (практически  $0 \dots 5 - 10$  кВт) с соответствующим законом распределения плотности вероятности выбора  $\frac{dN(\epsilon)}{d\epsilon}$  и случайный независимый выбор углов вылета  $\theta_x$  и  $\theta_y$  с определенными законами распределения  $\frac{dG}{d\theta_x}$  и  $\frac{dG}{d\theta_y}$ . При численных расчетах число электронов будет конечным, ограниченным возможностями машины.

Предлагаемый метод заключается в непосредственной аппроксимации выражений  $\frac{dN(\epsilon)}{d\epsilon}$ ,  $\frac{dG}{d\theta}$  дискретными функциями. Разбиваем диапазон энергий вылета на интервалы  $\Delta \epsilon_i$ ,  $i = 1, 2, \dots, M$ . В общем случае интервал берется меньше там, где функция изменяется сильнее. Считаем, что все электроны из интервала энергий  $\Delta \epsilon_i$  вылетают со средней энергией  $\epsilon_i$ , соответствующей середине интервала.

Вероятность вылета электрона

$$N^0(\epsilon_i) = \int_{\epsilon_i - \Delta \epsilon_i/2}^{\epsilon_i + \Delta \epsilon_i/2} N'(\epsilon) d\epsilon / \int_0^{e_{\max}} N'(\epsilon) d\epsilon,$$

где  $N'(\epsilon)$  — плотность вероятности энергетического распределения электронов,  $N'(\epsilon) = \frac{dN}{d\epsilon}$ ;  $e_{\max}$  — максимальная энергия вылета.



Таким образом, непрерывная функция вероятности вылета заменяется дискретной функцией  $N_i^0 = N^0(\epsilon_i)$  для дискретной и конечной последовательности  $\epsilon_i$ .

Аналогично получим дискретные функции вероятности вылета электрона с заданными углами наклона к осям  $x$  и  $y$  —  $G_{x,i}^0$ ,  $G_{y,i}^0$ .

Если  $\frac{\partial G}{\partial \theta} = \cos \theta$ , то  $G_i^0 = \frac{1}{2} \int_{\theta_i - \Delta \theta_i/2}^{\theta_i + \Delta \theta_i/2} \cos \theta d\theta$ . Далее выполняются

расчеты распределения плотности тока для каждой тройки значений  $e_t, \theta_{xj}, \theta_{yk}$  по формуле (3). Эти величины являются исходными для траекторий. Полученные функции  $j_{ijk}(x, y, z)$  используются при расчете результирующей плотности тока

$$j_s(x, y, z) = \sum_{i=1}^M \sum_{j=1}^{M_1} \sum_{k=1}^{M_2} j_{ijk}(x, y, z) N_i^0 G_{xj}^0 G_{yk}^0, \quad (4)$$

где  $M, M_1, M_2$  — число значений соответствующих функций. На рисунке показаны зависимости плотности тока ленточного пучка на экране триодной системы формирования от поперечной координаты для различных управляющих напряжений  $U_c$  и двух вариантов ускоряющего напряжения  $U_a$ , определяющего вклад хроматической аберрации; распределение плотности тока без учета ( $-$ ) и с учетом  $\left( - \frac{\epsilon_{cp}}{eU_a} \sim 10^{-5}, - \frac{\epsilon_{cp}}{eU_a} \sim 10^{-3} \right)$  хроматической аберрации:  $a - U_c/U_a = 0,15$ ;  $b - U_c/U_a = 0,12$ ;  $c - U_c/U_a = 0,1$ ;  $d - U_c/U_a = 0,05$ ;  $e - U_c/U_a = -0,05$ ;  $f - U_c/U_a = -0,055$ ;  $A$  — период размещения сеточных управляющих электронов.

Расчет поля выполнен методом конформных отображений. Даже при большом ускоряющем напряжении или малой средней энергии эмитируемых электронов  $\epsilon_{xp}$  хроматическая аберрация влияет на тонкую структуру пучка. При запирании пучка наблюдается остаточный ток, обусловленный ненулевой начальной энергией электронов (рисунок, позиция  $a$ ).

Список литературы: 1. Глазер В. Основы электронной оптики. — М.: Гостехтеориздат, 1952. — 773 с. 2. Цыганенко В. В. Вопросы расчета и конструирования электронно-оптических систем электронно-лучевых приборов: Дис. ... канд. техн. наук. — Львов, 1974. — 167 с. 3. Рошаль А. С. Моделирование заряженных пучков. — М.: Атомиздат, 1979. — 224 с.

Поступила в редакцию 11.04.84.

УДК 621.396.677

И. Н. ПРЕСНЯКОВ, канд. техн. наук, О. В. СЫТНИК

#### АЛГОРИТМ ФОРМАЛИЗАЦИИ ЗАДАЧИ РАЗРЕШЕНИЯ УГЛОВЫХ КООРДИНАТ С ПРИМЕНЕНИЕМ КАЛМАНОВСКОЙ ФИЛЬТРАЦИИ

Фазированные антенные решетки (ФАР) обладают известными преимуществами по сравнению с апертурными антеннами, однако стоимость их еще достаточно высока. Поэтому при разработке ФАР целесообразно максимально использовать их преимущества.

Развитие и усовершенствование цифровой техники дает возможность

и вторичную обработку радиолокационной информации. Именно в этом плане представляет интерес совмещение метода оптимальной фильтрации Калмана, который традиционно относится к устройствам вторичной обработки, и корреляционных методов обработки сигналов в адаптивных антенных решетках (ААР) с целью повысить разрешающую способность антенн любых геометрических размеров. Известные адаптивные процессоры [1, 2] позволяют получить сверхразрешение источников для решеток, длина которых сравнима с длиной волны принимаемых колебаний ( $L < (10...15)\lambda/2$ ). Для больших решеток ( $L \gg 10\lambda/2$ ) эффективность сверхразрешения уменьшается, а вычислительные затраты резко возрастают ( $\sim n^3$ , где  $n$  — число элементов решетки). Однако для них можно использовать информацию, заключенную в резком изменении коэффициента передачи антенны по угловым координатам.

Пусть прием ведется с помощью прямоугольной ФАР, содержащей  $l \times p$  всенаправленных элементов, расположенных на расстоянии  $\lambda/2$  друг от друга. Предположим вначале, что сигналы, излучаемые источниками, представляют собой узкополосные случайные процессы с нулевым средним. В каждом элементе решетки присутствует собственный тепловой шум  $W$  с дисперсией  $\sigma_W^2$  или в более общем случае — с ковариационной матрицей  $\Lambda_W$ . Выход антенны представим в виде суммы сигналов, принятых главным лепестком диаграммы направленности (ДН).

Для удобства использования в разрабатываемом алгоритме информации о неравномерности модуля коэффициента усиления антенны представим  $G(\gamma, \theta)$  в азимутальной и угломестной плоскостях в виде дискретных отсчетов (рис. 1). Такая аппроксимация ДН антенны применительно к аналогичной задаче была впервые предложена в работе [3]. Число отсчетов  $|G(\gamma, \theta)|$  в соответствующей плоскости можно задать, например, условием  $|\Delta_{t, \max} G(\Delta\alpha_i)| = |G(\alpha_i) - G(\alpha_j)| < \varepsilon$ , где  $\varepsilon$  — некоторое наперед заданное положительное число, которое выбирается исходя из двух противоречивых требований: точности аппроксимации ДН и объема вычислений  $n = \Delta\alpha_{1,n}/\Delta\alpha_{i,j}$  (1), где  $\Delta\alpha_{1,n}$  — ширина луча ДН антенны на уровне максимума первых боковых лепестков в соответствующей плоскости;  $\Delta\alpha_{i,j}$  — угловая ширина элементарного участка луча, неравномерность ДН внутри которого не превышает  $\varepsilon$ .

Модуль коэффициента усиления антенны в пределах интервала  $\Delta_i$

$$|G_i| = \frac{|G(\alpha_i) - G(\alpha_j)|}{2}. \quad (2)$$

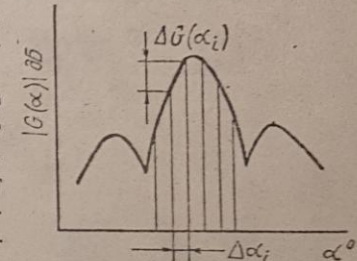


Рис. 1